

二層同心円柱を伝わる弾性波の伝播速度

PROPAGATION OF ELASTIC WAVE IN TWO LAYERED CONCENTRIC CYLINDER HAVING
DIFFERENT ELASTIC CONSTANTS

松岡健一* 菅田紀之** 能町純雄*** 木田哲量****
By Kenichi MATSUOKA, Noriyuki SUGATA, Sumio NOMACHI and Tetsukazu KIDA

Propagations of axial and flexural stress waves in a two concentrically layered cylinder; an inner solid and an outer annular cylinders of different elastic moduli each other, is investigated as an eigen value problem of the coefficients matrices of boundary conditions which are derived from the solution of dynamic equations of cylindrical coordinates by means of Hankel transforms.

The discussions are around the variations of wave velocity with the change of ratio between wave length and the diameter of the outer cylinder, and the wave modes for various wave length. The numerical calculations are performed for several ratio of the diameter of the cylinders, and elastic moduli for solid and cylinder.

1. まえがき

異質な材料から構成される複合材としては、積層複合材と繊維強化複合材が考えられるが、これらを伝播する弾性波の波動伝播問題は工学的に興味のある問題であり、種々研究されている。^{1)~5)}著者の一人(能町)も大島らとともに、有限プリズム要素を用いて、矩形断面や円筒形断面の複合材の波動伝播問題を種々解析している。^{6)~9)}

積層複合材の基本的なものの一種として、同心円状におかれた、異質な材料からなる、多層同心円柱があるが、これらは鋼管構造物などの理想化されたモデルとみることができ、三次元弹性論で厳密に解析することができる。

著者らは、これまで円柱座標で与えられる、波動伝播問題を解析して来たが、^{10)~14)}本論文はこれを、弹性定数の異なる円柱と厚肉円筒が同心円状におかれた、二層同心円柱の問題に応用し、積層複合材の波動伝播特性を考察したものである。

解析は、円柱および円筒の波動伝播の基礎変位式を境界の条件を満足するように組合せて行なうもので、継波動および曲げ波動の位相速度分散曲線と、波動モードを、円柱と円筒の外径比および、弹性定数比を変

* 工博 室蘭工業大学教授 工学部土木工学科 (〒050 室蘭市水元町27番1号)

** 室蘭工業大学大学院工学研究科 土木工学専攻 (〒050 室蘭市水元町27番1号)

*** 工博 日本大学教授 生産工学部土木工学科 (〒275 習志野市泉町1丁目2番1号)

**** 日本大学講師 生産工学部土木工学科 (〒275 習志野市泉町1丁目2番1号)

化させて求め検討を行なった。

2. 基礎変位式

Hankel変換を用いた円柱座標に関する波動伝播問題の変位解は、すでに求めているので^{10), 11)}ここではその求め方の概要を述べ、結果のみを示すこととする。

図-1のように、円柱軸を z 軸とする (r, θ, z) 座標系を考え、波動は z 軸方向に進行する定常波動伝播を仮定し、波動の角速度を ω 、伝播速度を V とし、周方向の波動次数を m とすれば、円柱座標で表わされる波動方程式を半径方向に Hankel変換することにより、円筒の各変位成分 (u, v, w) は次のように求められる。

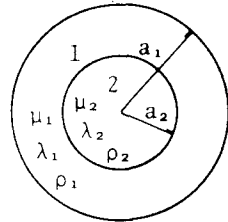
$$\begin{pmatrix} u \\ v \\ w \end{pmatrix} = \begin{vmatrix} \cos m\theta & \cos m\theta & 0 \\ \sin m\theta & -\sin m\theta & 0 \\ 0 & 0 & \cos m\theta \end{vmatrix} \begin{pmatrix} \tilde{A}_{mr} \\ \tilde{B}_{mr} \\ \tilde{W}_{mr} \end{pmatrix} \exp[i\omega(t-z/V)] \quad (1)$$

$$\{\tilde{A}_{mr}, \tilde{B}_{mr}, \tilde{W}_{mr}\}^T = \sum_{k=1}^2 K_{mk} \{F_{Amk}, F_{Bmk}, F_{Cmk}, E_{mk}\}^T \quad (2)$$

$$F_{Amk} = \alpha_{mk}/2\mu + (m+1)\Lambda_{mk} + (m-1)B_{mk} - iN\Lambda_{mk}/2$$

$$F_{Bmk} = \alpha_{mk}/2\mu + (m+1)\Lambda_{mk} + (m-1)B_{mk} + iN\Lambda_{mk}/2 \quad (3)$$

$$F_{Cmk} = \beta_{mk}/2\mu + (m+1)\Lambda_{mk} - (m-1)B_{mk} + iN\Lambda_{mk}$$



$$K_{mk} = \begin{vmatrix} \chi_{mp}^{(k)}(N_\mu r)/N_\mu & 0 \\ 0 & -\chi_{ms}^{(k)}(N_\mu r)/N_\mu \\ 0 & 0 \end{vmatrix}$$

$$\begin{vmatrix} (\mu N^2/\rho\omega^2) \{ \chi_{mp}^{(k)}(N_\mu r)/N_\mu - N_\alpha \chi_{mp}^{(k)}(N_\alpha r)/N^2 \} & 0 \\ (\mu N^2/\rho\omega^2) \{ \chi_{ms}^{(k)}(N_\mu r)/N_\mu - N_\alpha \chi_{ms}^{(k)}(N_\alpha r)/N^2 \} & 0 \\ -i(2\mu N/\rho\omega^2) \{ G_m^{(k)}(N_\alpha r) - G_m^{(k)}(N_\mu r) \} & G_m^{(k)}(N_\alpha r) \end{vmatrix} \quad (4)$$

ここで、 $N = \omega/V$ 、 $N_\mu^2 = N^2 - \rho \omega^2 / \mu$ 、 $N_\alpha^2 = N^2 - \rho \omega^2 / (2\mu + \lambda)$ 、 ρ ：円筒の密度； μ, λ ：Lameの弾性定数であり、 m は波動の円周方向のモードを示すもので、 $m = 0$ のとき縦波動、 $m = 1$ のとき曲げ波動を表わす。また式中の関数 G 、 χ は、円筒の外半径を a_1 、内半径を $a_0 = a_2$ とすると次のように表わされる。

$$G_m^{(k)}(Nr) = \frac{R_{m,m}^{(k)}(Nr)}{R_{m,m}^{(k)}(Na_k)} \quad \chi_{mp}^{(k)}(Nr) = \frac{R_{m+1,m}^{(k)}(Nr)}{R_{m,m}^{(k)}(Na_k)} \quad \chi_{ms}^{(k)}(Nr) = \frac{R_{m-1,m}^{(k)}(Nr)}{R_{m,m}^{(k)}(Na_k)} \quad (5)$$

$$R_{j,m}^{(k)}(Nr) = I_j(Nr) K_m(Na_{k-1}) - (-1)^{j+m} I_m(Na_{k-1}) K_j(Nr) \quad (6)$$

ただし、 I, K は変形第1種および第2種のBessel関数である。また式中の係数 α, β, A, B, E は円筒の内外面の変位および応力で与えられるもので次のように示される。

$$\alpha_{mk} = \tilde{\tau}_{rem} \Big|_{r=a_k}, \quad \beta_{mk} = \tilde{\sigma}_{rm} \Big|_{r=a_k}, \quad A_{mk} = \tilde{A}_{mr} \Big|_{r=a_k} / a_k, \quad B_{mk} = \tilde{B}_{mr} \Big|_{r=a_k} / a_k, \quad (7)$$

$$E_{mk} = \tilde{W}_{mr} \Big|_{r=a_k}, \quad \tau_{re} = \tilde{\tau}_{rem} \sin m\theta \exp[i\omega(t-z/V)], \quad \sigma_r = \tilde{\sigma}_{rm} \cos m\theta \exp[i\omega(t-z/V)]$$

以上が円筒に対する変位式であるが、円柱の場合は、 $a_2 = 0$ として $k = 1$ の項のみを考慮することで与えられる。この場合、関数 R は次のようになる。

$$R_{j,m}^{(1)}(Nr) = I_j(Nr) \quad (8)$$

3. 固有値方程式

二層同心円柱を伝わる弾性波の速度は、2. で求めた変位式を円筒と円柱の境界条件を満足するように導かれた境界条件式からなる固有値方程式の固有値問題として与えられる。いま円筒を表わすすべての量を添字1、円柱を表わすすべての量を添字2で示すと、2. で求めた解に対して、まず次の適合条件を満足しなければならない。

$$\text{円筒に対して } A_{mr+1}|_{r=a_k} = a_k A_{mk+1}, \quad B_{mr+1}|_{r=a_k} = a_k B_{mk+1} \quad (9)$$

$$\text{円柱に対して } A_{mr+2}|_{r=a_1} = a_2 A_{ml+2}, \quad B_{mr+2}|_{r=a_2} = a_2 B_{ml+2} \quad (10)$$

さらに、円筒の外面における境界条件を考えると、

i) 円筒の外面で、

$$\tau_{rz+1}|_{r=a_1} = 0, \quad \alpha_{ml+1} = 0, \quad (11) \quad \sigma_{rz+1}|_{r=a_1} = 0, \quad \beta_{ml+1} = 0, \quad (12)$$

$$\tau_{rz+1}|_{r=a_1} = 0 \quad (13)$$

ii) 円筒の内面で、

円筒の内面は、円柱と接触しているので、接触面の条件によって異なる境界条件となるが、ここでは、接触面で変位が連続な場合を考えるものとする。

$$u_1|_{r=a_2} = u_2|_{r=a_2}, \quad v_1|_{r=a_2} = v_2|_{r=a_2}, \quad A_{ml+1} = A_{ml+2}, \quad B_{ml+1} = B_{ml+2}, \quad (14)$$

$$w_1|_{r=a_2} = w_2|_{r=a_2}, \quad E_{ml+1} = E_{ml+2}, \quad (15) \quad \tau_{rz+1}|_{r=a_1} = \tau_{rz+2}|_{r=a_2}, \quad \alpha_{ml+1} = \alpha_{ml+2}, \quad (16)$$

$$\sigma_{rz+1}|_{r=a_2} = \sigma_{rz+2}|_{r=a_2}, \quad \beta_{ml+1} = \beta_{ml+2}, \quad (17) \quad \tau_{rz+1}|_{r=a_2} = \tau_{rz+2}|_{r=a_2}, \quad (18)$$

従って、二層同心円柱を伝わる弾性波の位相速度は、式(9), (10), (13), (18)で与えられる固有値方程式の根として求めることができる。

4. 数値解析および考察

数値解析は、縦波動 ($m = 0$) および曲げ波動 ($m = 1$) に対して行ない、円筒と円柱の弾性係数、ボアン比をそれぞれ E_1 , ν_1 , E_2 , ν_2 として次の2つの場合について行った。

i) $E_1 < E_2$ の場合

(Case I)

このとき、円柱の方が円筒より大きな弾性係数をもつ場合であるがこのとき用いた数値は、

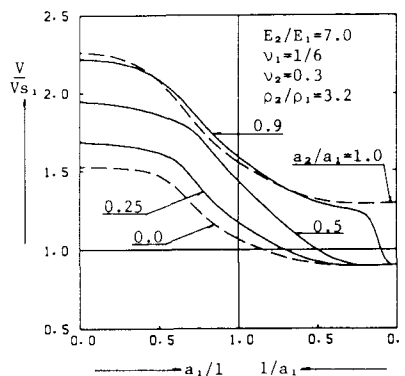
$$\nu_1 = 1/6, \nu_2 = 0.3,$$

$$E_2/E_1 = 7.0,$$

$$\rho_2/\rho_1 = 3.2,$$

$$a_2/a_1 = 0.0, 0.25,$$

$$0.5, 0.9, 1.0$$



ii) $E_2 < E_1$ の場合

(Case II)

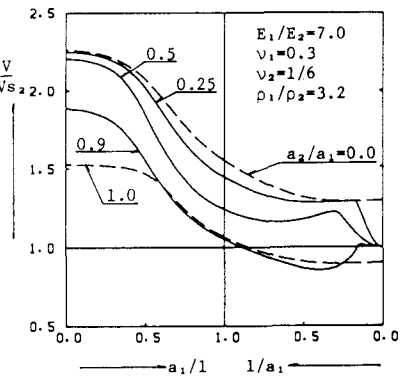


図-2 一次の縦波動の位相速度

分散曲線 (Case I)

図-3 一次の縦波動の位相速度

分散曲線 (Case II)

このとき、円筒の方が円柱より大きな弾性係数をもつ場合であるが、このとき用いた数値は、

$$\nu_1 = 0.3, \nu_2 = 1/6, E_1/E_2 = 7.0, \rho_1/\rho_2 = 3.2, a_2/a_1 = 0.0, 0.25, 0.5, 0.9, 1.0$$

である。 $a_2/a_1 = 0.0$

は1のみの円柱であり、

$a_2/a_1 = 1.0$ は2のみの円柱である。

位相速度は、3. で示した固有値方程式の固有値として与えられるが、この場合固有値は方程式の中に陰な型で含まれるため、反復法により求める必要があり、5桁以上の精度を有するように求めた。

計算結果の一部を図に示すが、図-2～5, 8～11に位相速度を、図-6, 7, 12～14に波動モードを示している。位相速度は、図で、縦軸に、位相速度と小さい方のせん断波速度の比を、横軸には波動の半波長を l として、左半分に a_1/l を、右半分に l/a_1 をとり、全体として波長零から無限大までを示すようにしている。

1) 縦波動について

図-2～5に縦波動の位相速度分散曲線を示した。図-2はCase Iの一次の分散曲線を示したが、二層円柱は、おむね二種類の円柱だけの位相速度の中間値をとるが、円柱の径が大きい時($a_2/a_1 = 0.9$)、 $0.5 < a_1/l < 1.4$ の範囲で円柱だけの場合より大きな値を示している。波長無限大では $a_2/a_1 = 0.25, 0.5, 0.9$ に対して V/V_{S1} の値はそれぞれ1.681, 1.942, 2.220となるが、これは二層円柱を体積に応じた換算材料定数をもつ円柱としたときのbar velocity 1.679, 1.940, 2.217とほぼ一致している。また、波長零では円筒体(弾性波速度の小さい方)のRayleigh波の速度に一致している。

図-3には、Case IIについて

同様一次の分散曲線を示したがCase Iと同様、二層円柱は一部の値について2つの円柱のみの位相速度の間の値をとらないことがある($a_2/a_1 = 0.9$ で0.6< a_1/l <5付近)が、その他は間の値をとる。また、波長無限大では V/V_{S2} の値は、 $a_2/a_1 = 0.9, 0.5, 0.24$ に対してもそれぞれ、2.250, 2.205, 1.884となるが、これもCase Iと同様に換算断面のbar velocity 2.247, 2.201, 1.877とほぼ一致している。しかし波長零ではこの場合は円柱(弾性波速

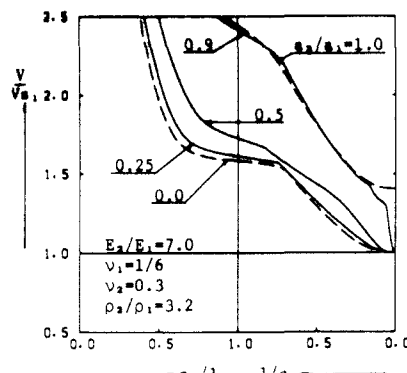


図-4 二次の縦波動の位相速度分散曲線 (Case I)

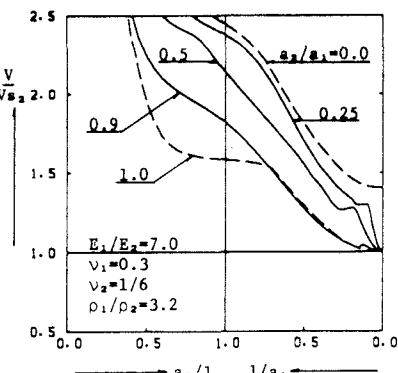


図-5 二次の縦波動の位相速度分散曲線 (Case II)

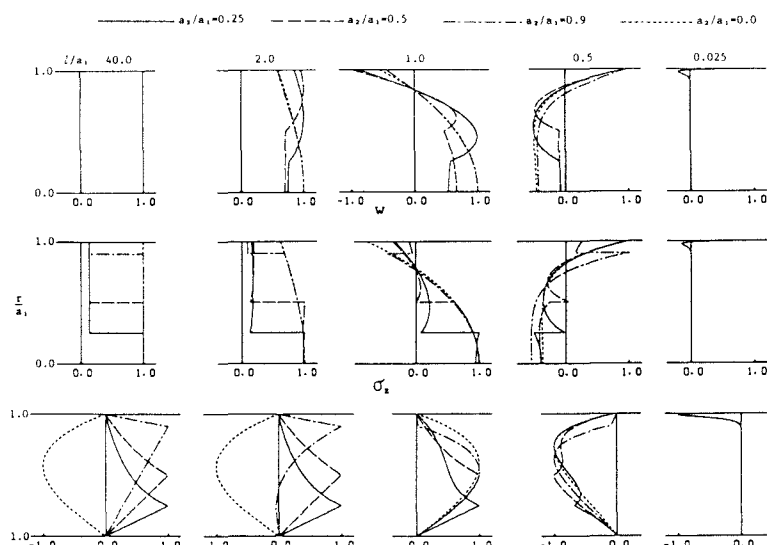


図-6 一次の縦波動モード (Case I)

度の小さい方) のせん断波の速度と一致している。

図-4、5は、Case IおよびIIの二次の位相速度の分散曲線を同じように示したものである。いずれの場合も一次のものと同様一部で二つの円柱の中間的な値をとらないことがあるものの全体としてはほぼ間の値をとっており、波長無限大では無限大、波長零では小さい方のせん断波速度に一致している。

図-6、7には、縦波動の波動モードを、 w , σ_z , τ_{rz} について、若干の波長に対して示した。Case I(図-6)、Case II(図-7)いずれの場合も

波長無限大では、全断面一様に変位し、平面保持が満足されている。波長が短くなるに従い平面保持はくずれ、Case Iでは、表面に変位が集中し、また応力も表面に集中し、表面波の様相を呈してくる。しかし、Case IIでは表面よりむしろ内部に集中し、波動は軟い部分を伝播するようである。応

力の波動モードは、 σ_z はいずれの場合も波長の長いところでは、弾性定数の大きな部分で大きく、波長が短くなるに従って円筒部が曲げを受けるようすに挙動し、さらに短くなると、弾性定数の小さな部分に集中してくる。

τ_{rz} は、波長の長い時境界面に集中し、波長 $l/a_1 = 0.5$ 位までは、Case I、Case IIとも同じよ

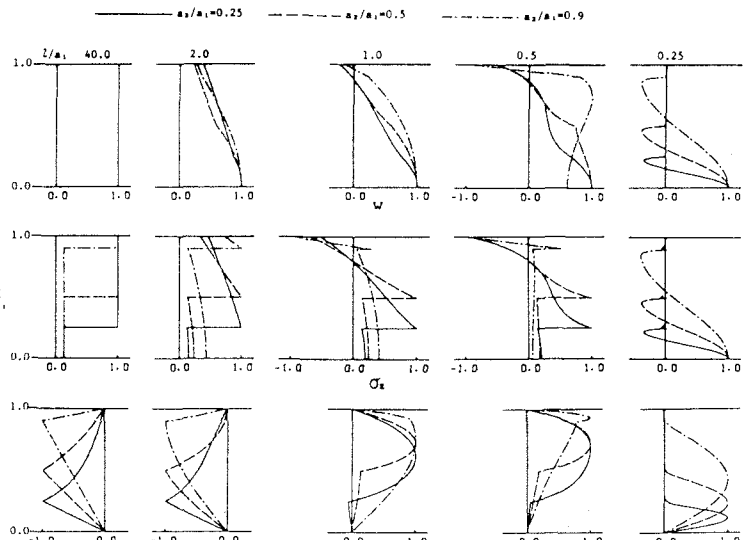


図-7 一次の縦波動モード (Case II)

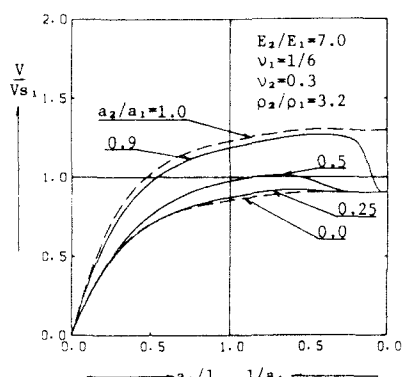


図-8 一次の曲げ波動の位相速度分散曲線 (Case I)

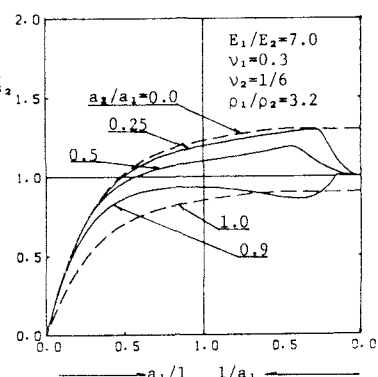


図-9 一次の曲げ波動の位相速度分散曲線 (Case II)

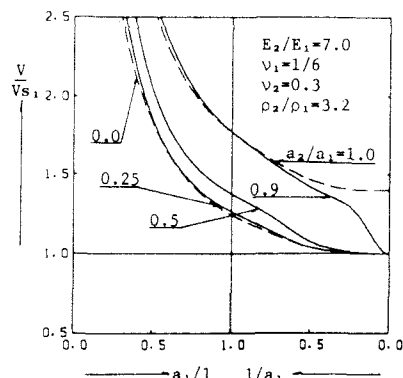


図-10 二次の曲げ波動の位相速度分散曲線 (Case I)

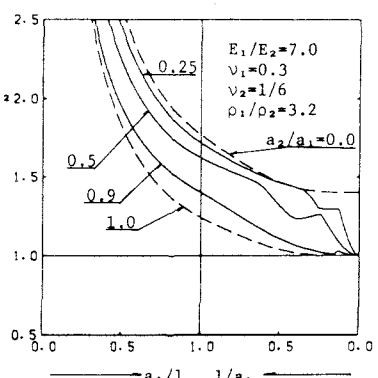


図-11 二次の曲げ波動の位相速度分散曲線 (Case II)

うに挙動し、波長が短くなるに従い、軟い部分に集中している。

2) 曲げ波動について

図-8～11に、位相速度の分散曲線を示した。図-8、9は一次の分散曲線を示しているが、曲げ波動は波長無限大で零となるから Case I, II ともそれ程大きな差はないが、波長零では Case I のとき縦波動と同じように Rayleigh 波の速度となり、Case II のとき円柱部のせん断波速度になる。

二次の分散曲線は、図-10～11に示したが、縦波動と同様、波長無限大では無限大、波長零では軟い方のせん断波速度となっている。また中間の波長に対しては、一般に縦波動より小さな値となっている。

図-12 は、Case I の波動モードであるが、波長が長いときは縦波動と同様、均一断面のように平面保持を満足する変位および応力の分布となり、波長が短くなるに従い、複雑な変位および応力の分布を示しつつ円筒部の表面に集中する表面波の様相を呈するようになっている。

Case II の曲げ波動モードは、図-13 に示した。この場合も Case I 同様、波長の長いところ

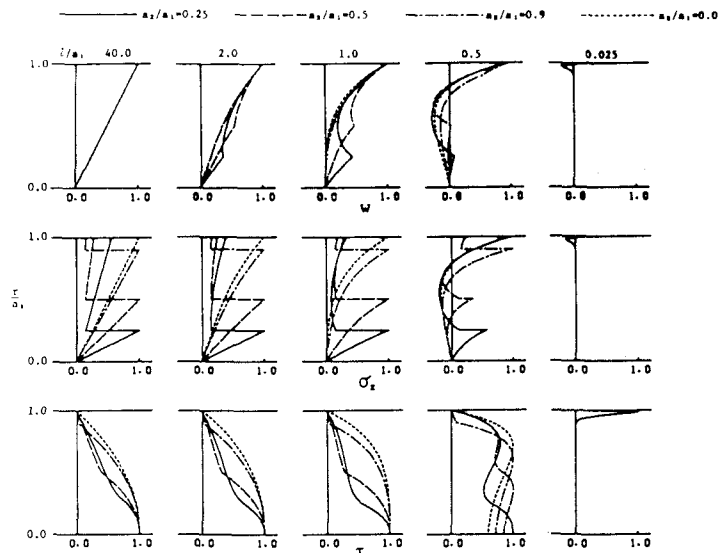


図-12 一次の曲げ波動モード (Case I)

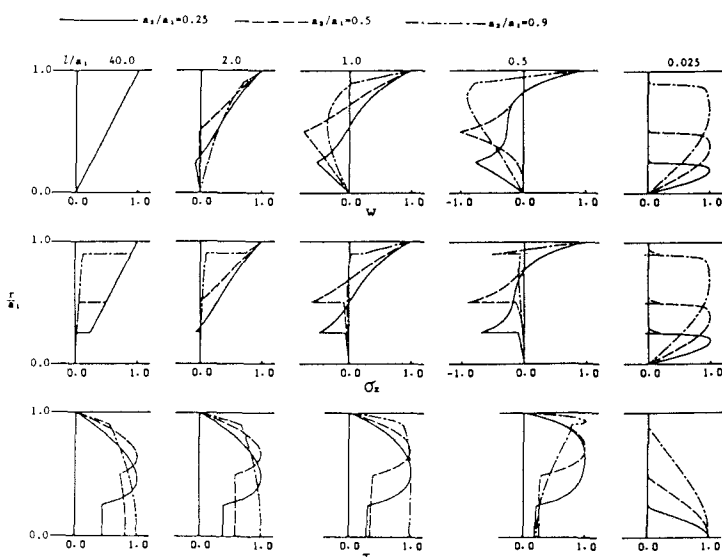


図-13 一次の曲げ波動モード (Case II)

($l/a_1 > 40$) では、平面保持を満足する変位や応力の分布となっているが、波長が短くなるに従い、円筒部と円柱部の境界に変位が集中する様になり ($l/a_1 = 1.0$ および 0.5)、しかも表面とは逆の変位となっている。これは積層板でも現われる現象であるが、円筒部と円柱部が別々に曲げを受けている様に変位している。従って応力 σ_z も同様に分布し、円筒部で大きな曲げ応力となっている。せん断応力 τ_{rz} も円筒部で大きな値を示している。さらに波長が短くなると、変位と曲げ応力は円筒と円柱の境界付近の円柱部で最大となる分布を示し、せん断応力は円柱部中心で最大となり、やはり波動は軟い部分を伝播するようになる。波長の短い範囲 ($l/a_1 = 0.4 \sim 0.1$) の波動モードの移り変りをもう少し詳しく求めたものを図-14 に示した。これによれば、半径比 a_2/a_1 の相違によってかなり異ったモード分布を示していることがわかる。半径比 $a_2/a_1 = 0.9$ では、波長 $l/a_1 = 0.2$ まで円筒部の曲げが大きく、半径比 $a_2/a_1 = 0.5$ では比較的長い波長 $l/a_1 = 0.4$ から円柱部へ集中している。

5. まとめ

二層同心円柱の波動伝播問題を縦波動と曲げ波動について解析し、位相速度と波動モードを若干の数値に対して求め検討を加えた。用いた数値は、鉄筋コンクリートや鋼管コンクリートを想定しているが、この結果次のことが明らかとなった。

1) 縦波動の位相速度は波長が無限大に近づくに従い換算断面のbar velocityに近づき、波長が零に近づくに従い円筒が軟いもの(Case I)は円筒部の材料のRayleigh波速度に近づき、円柱部の軟いもの(Case II)は円柱部の材料のせん断波速度に近づく。

2) 縦波動の波動モードは、波長の長い時($l/a_1 > 40.0$ 位)は平面保持を示すが、

波長が短くなるに従いCase Iは円筒部表面に集中し、Case IIでは円柱中心部に集中するようになる。

3) 曲げ波動の位相速度は、波長無限大では零、波長が零に近づくに従い縦波動と同様、Case Iは円筒部のRayleigh波速度に、Case IIでは円柱部のせん断波速度に近づく。

4) 曲げ波動の波動モードは、波動の長い時は縦波動と同様平面保持を示し、波長が短くなるに従い、特にCase IIで、円筒部に著しい曲げを受けるようなモード分布を示しながら、波長が零に近づくに従いCase Iでは円筒表面に、Case IIでは円筒と円柱の境界付近に集中する波動モードを示している。

5) 2次の位相速度は、縦波動、曲げ波動ともそれ程大きな違いはない、Case I, IIとも波長が無限大に近づくに従い速度も無限大となり、波長零では軟い部分のせん断波速度(遅い方の弾性波速度)に近づいている。

以上、材料定数については二種類の計算結果について述べたが、今後さらに多くの組合せについて解析を行なうと同時に、衝撃力などが作用した場合の応答解析も行なう予定である。

尚、本論文の作成に当り、種々助言をいただいた室蘭工業大学助教授、岸徳光氏に謝意を表します。また、本論の数値計算は、北海道大学大型計算機センターおよび室蘭工業大学情報処理教育センターの計算機を用いて行なったものであることを付記する。

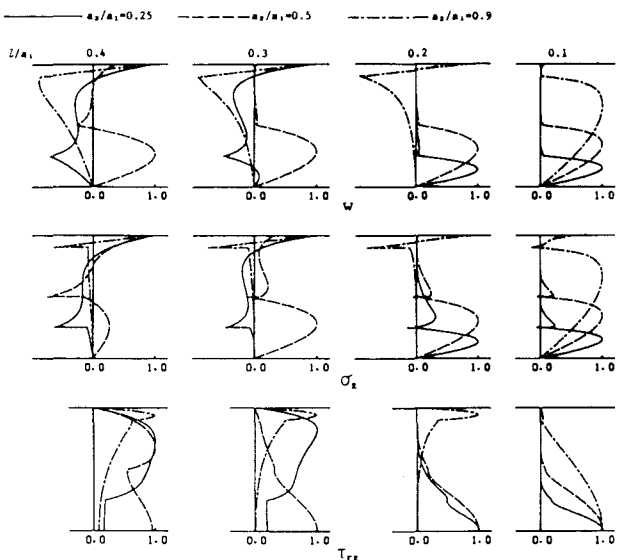


図-14 一次の曲げ波動モード (Case IIづき)

Case I は円筒部表面に集中し、Case II では円柱中心部に集中するようになる。

Case I は円筒部の Rayleigh 波速度に、Case II では円柱部のせん断波速度に近づく。

Case II では、円筒部に著しい曲げを受けるようなモード分布を示しながら、波長が零に近づくに従い Case I では円筒表面に、Case II では円筒と円柱の境界付近に集中する波動モードを示している。

Case I, IIとも波長が無限大に近づくに従い速度も無限大となり、波長零では軟い部分のせん断波速度(遅い方の弾性波速度)に近づいている。

以上、材料定数については二種類の計算結果について述べたが、今後さらに多くの組合せについて解析を行なうと同時に、衝撃力などが作用した場合の応答解析も行なう予定である。

参考文献

- 1) Kohn, W., J. A. Krumhansl and E. H. Lee : Variational Methods for Dispersion Relations and Elastic Properties of Composite Materials, J. Appl. Mech., June, 1972.
- 2) Hegemier, G. A. and T. C. Bache : A General Continuum Theory with Microstructure for Wave Propagation in Elastic Laminated Composites, J. Appl. Mech., March, 1974.
- 3) Gurtmann, G. A. and G. A. Hegemier : A Mixture Theory for Wave Guide-Type Propagation and Debonding in Laminated Composites, Int. J. Solids Structures, Vol. 11, 1975.
- 4) Hegemier, G. A., G. A. Gurtmann and A. H. Nayfeh : A Continuum Mixture Theory of Wave Propagation in Laminated and Fiber Reinforced Composites, Int. J. Solids Structures, Vol. 9, 1973.
- 5) Tauchert, T. R. and A. N. Guzelsu : An Experimental Study of Dispersion of Stress Waves in a

Fiber Reinforced Composite, J. Appl., March, 1972.

- 6) 能町純雄・大島俊之：内部に軸方向の補強材を有する梁の波動分散曲線について，第26回応用力学連合講演会講演概要集，C129, 1976.
- 7) Ohshima, T. and S. G. Nomachi : Dispersion of Harmonic Flexural Waves in Fiber Reinforced Rectangular Beam, 北見工業大学研究報告, 第9巻, 第1号, 1977.
- 8) 大島俊之・能町純雄：有限プリズム法による繊維強化複合材の縦波動伝播速度の研究，土木学会論文報告集，第297号，1980.
- 9) 三上修一・大島俊之・能町純雄：有限プリズム法による繊維強化円筒シェルの弾性波速度の研究，土木学会北海道支部論文報告集，第41号，1985.
- 10) 松岡健一・能町純雄：弾性媒体中にある円柱を伝わる曲げ波動の伝播速度について、土木学会論文報告集、第258号，1977.
- 11) 能町純雄・松岡健一・坂下正幸：弾性媒体中にある厚肉円筒を伝わる弾性波について，土木学会論文報告集，第293号，1980.
- 12) Nomachi, S. G., K. G. Matsuoka, N. Kishi and T. Ohshima : Elastic Waves of Cylinder in an Elastic Medium, Proc. 4th A. S. C. E. EMD Speciality Conference, 1983.
- 13) 松岡健一・能町純雄・岸徳光：入射せん断波を受ける弾性体中にある厚肉円筒の動的応答，構造工学論文集，Vol. 31A, 1985.
- 14) 菅田紀之・松岡健一・岸徳光・能町純雄：二層同心円柱を伝わる弾性波の位相速度について，土木学会北海道支部論文報告集，第41号，1985.

(1986年01月24日受付)